

Ejemplo comparación de resultados predictores in silico

Cambio de estudio NF1 c.3362A>G (chr17:3123274 A/G, rs757222815 o NM_000267.3:c.3362A>G)

Exón 26 y 27 e intrones adyacentes:

```
gtaaatttcagtcaccaaaaaacataaaggcaaaaagcaataaaggccccccaccacacaa  
aaaaagcaagaaataatacccatgacaggactaggataggaaaataadtggtgttttggtg  
atTTTTTTaaaggaaagtaatatgatcagtgaaaatTTTgcttataataaaacccagattgc  
ttcattaagtcatTTTacaaaagtgcattgtctaagctgtttggacactaatttttat  
actaacattaaaagtgacacatttaccaggtaatatTgcattctatttgatgctaagtta  
tgaaagggtatactaggctatatcaggtaaaatcatgtccaacatagcadacttcataata  
agccaccctggctgatttatcgcgagagaggagagaaaacagttaaccaggggcattcac  
ccatgcacatatgattgttttggaaatgtctggttagctttctagttgatacggccttcc  
tatgtaaaaggtcagtcTTTTTattctcag  
ATACTTCACATTATTTATGAACCTTTTGAATGACTGCAGTGAAAGTCAAGATGAAAGTGC  
GCAAAACAGGTGGCAGGAACGTTGGCATGTCTCGGAGGCTGGCATCACTGAGGCACTGTAC  
GGTCTTTCGAATGTCAAACCTTACTCAATGCAACGTAGACAGTGGTCTCATGCACCTCAT  
AG  
gtgagatcaaatgaaagtTtcatatagaaatacaaaccttagagaaactggcatgtaagag  
aagcaaaaattacttcagcaaggccatggttagtaaaatttgcattctgttctcacattag  
GCTTAGGTTACCAACAGGATCTCCAGACAAGAGCTACATTTATGGAAGTTCTGACAAAAA  
TCCTTCAACAAGGCACAGAATTTGACACACTGTCAGAAACAGTATTGGCTGATCGGTTTG  
AGAGATTGGTGGAACTGGTCACAATCATGGGTGATCAAGGAGAACTCCCTATAGCGATGG  
CTCTGGCCAATCTGTTCTTGTCTCAGTGG  
gtaagtattagagtaagcggggagaaaagtgcctggcacatagcaaatccttcagaat  
atatttgttcaataaatgtttgttgaaatgaattgataaaatttcagagccagaagaaaga  
tgtttaggttaggtgattttcagctgtagggaagtgggttggcaccactagacctgactag  
tgttctgtatcatttcattcctactaaaaaattcattttaaaggattaaaaaatcactgat  
cactctgtgtcttcataatatttgataaggtaatttaggttaaacctaatTTtagtttagt
```

Se ha descrito que este cambio causa la formación de dos transcritos: (1) conteniendo la sustitución y (2) con *skipping* del exón 20. La mutación resulta en la presencia de una isoforma del mRNA con el *splicing* correcto, conteniendo el cambio *missense* correspondiente (p.Glu1121Gly), y otra donde pierde el exón 20¹.

El cambio se encuentra en la primera línea del exón 26 (la a en color rojo subrayada en amarillo).

Se va a obtener los resultados que produce analizar esta variable con los diferente predictores y ver cuál de ellos es más preciso.

Según el artículo, el cambio de interés está en el exón 20. Sin embargo, el cambio anotado como c.3362A>G en NF1 está en el exón 26, por lo que trabajaremos con este.

NetGene2

The sequence: wt has the following composition:

Length: 1324 nucleotides.

33.5% A, 17.4% C, 20.2% G, 28.9% T, 0.0% X, 37.6% G+C

Donor splice sites, direct strand

pos	5'→3'	phase	strand	confidence	5'	exon	intron	3'
270	2	+		0.41	CATTTACCAG	^	GTAATATTGC	
326	2	+		0.37	GCTATATCAG	^	GTAATCAT	
490	2	+		0.34	CTATGTAAAG	^	GTCAGTCTTT	
693	1	+		0.76	CACTCCATAG	^	GTGAGATCAA	
1025	0	+		0.83	TTCTCAGTGG	^	GTAAGTGATT	
1038	1	+		0.51	AGTGATTAGA	^	GTAAGCGGGG	
1295	-	+		0.00	ATTTGATAAG	^	GTAATTAGGT	

Donor splice sites, complement strand

pos 3'→5'	pos 5'→3'	phase	strand	confidence	5'	exon	intron	3'
653	672	2	-	0.89	TTGGCATTGA	^	GTAAGTTTGA	

Acceptor splice sites, direct strand

pos	5'→3'	phase	strand	confidence	5'	intron	exon	3'
510	2	+		0.25	TATTTCTCAG	^	ATACTTCACA	
549	1	+		0.19	ATGACTGCAG	^	TGAAGTTGAA	
554	0	+		0.18	TGCAGTGAAG	^	TTGAAGATGA	
560	0	+		0.07	GAAGTTGAAG	^	ATGAAAGTGC	
860	1	+		0.18	TTTATGGAAG	^	TTCTGACAAA	
884	1	+		0.19	CTTCAACAAG	^	GCACAGAATT	
890	1	+		0.19	CAAGGCACAG	^	AATTTGACAC	

Acceptor splice sites, complement strand

pos 3'→5'	pos 5'→3'	phase	strand	confidence	5'	intron	exon	3'
1017	308	2	-	0.07	ACCCACTGAG	^	AACAAGGAAC	
1011	314	2	-	0.07	TGAGAACAA	^	GAACACATT	
731	594	0	-	0.25	AGTTCTCTAG	^	GTTTTGTATT	
685	640	1	-	0.25	ACCTATGGAG	^	TGCATGAGAC	
677	648	2	-	0.18	AGTGCATGAG	^	ACCACTGTCT	

The sequence: mut has the following composition:

Length: 1324 nucleotides.

33.5% A, 17.4% C, 20.2% G, 28.9% T, 0.0% X, 37.7% G+C

Donor splice sites, direct strand

pos	5'→3'	phase	strand	confidence	5'	exon	intron	3'
270	2	+		0.41	CATTTACCAG	^	GTAATATTGC	
326	2	+		0.37	GCTATATCAG	^	GTAATCAT	
490	2	+		0.34	CTATGTAAAG	^	GTCAGTCTTT	
693	1	+		0.69	CACTCCATAG	^	GTGAGATCAA	
1025	0	+		0.83	TTCTCAGTGG	^	GTAAGTGATT	
1038	1	+		0.51	AGTGATTAGA	^	GTAAGCGGGG	
1295	-	+		0.00	ATTTGATAAG	^	GTAATTAGGT	

Donor splice sites, complement strand

pos 3'→5'	pos 5'→3'	phase	strand	confidence	5'	exon	intron	3'
653	672	2	-	0.90	TTGGCATTGA	^	GTAAGTTTGA	H

Acceptor splice sites, direct strand

pos	5'→3'	phase	strand	confidence	5'	intron	exon	3'
510	2	+		0.24	TATTTCTCAG	^	ATACTTCACA	
549	1	+		0.17	ATGACTGCAG	^	TGAAGTTGGA	
554	0	+		0.07	TGCAGTGAAG	^	TTGAGATGA	
860	1	+		0.18	TTTATGGAAG	^	TTCTGACAAA	
884	1	+		0.19	CTTCAACAAG	^	GCACAGAATT	
890	1	+		0.19	CAAGGCACAG	^	AATTTGACAC	

Acceptor splice sites, complement strand

pos 3'→5'	pos 5'→3'	phase	strand	confidence	5'	intron	exon	3'
1017	308	2	-	0.07	ACCCACTGAG	^	AACAAGGAAC	
1011	314	2	-	0.07	TGAGAACAA	^	GAACACATT	
731	594	0	-	0.25	AGTTCTCTAG	^	GTTTTGTATT	
685	640	1	-	0.25	ACCTATGGAG	^	TGCATGAGAC	
677	648	2	-	0.18	AGTGCATGAG	^	ACCACTGTCT	

Desaparece un sitio aceptor (en rojo) en la secuencia mutada, coincidiendo con la posición de interés. Sin embargo, este sitio no se utiliza en el *splicing* de la secuencia *wild type*, por lo que no tendrá influencia sobre el proceso.

Splice Site Prediction by Neural Network (NNSplice)

Donor site predictions for 80.102.134.120.15118.0 :

Start	End	Score	Exon	Intron
263	277	0.71	ttaccag	gtaatatt
300	314	0.61	atgaaag	gtatacta
319	333	0.90	atatcag	gtaaaatc
483	497	0.97	tgtaaag	gtcagtc
572	586	0.52	caaacag	gtggcagg
686	700	0.79	tccatag	gtgagatc
739	753	0.51	ctggcat	gtaaagaga
773	787	0.82	aggccat	gttagtaa
1018	1032	0.99	tcagtgg	gttaagtga
1031	1045	0.92	gattaga	gttaagcgg
1288	1302	0.99	tgataag	gttaattag

Donor site predictions for 80.102.134.120.15129.0 :

Start	End	Score	Exon	Intron
263	277	0.71	ttaccag	gtaatatt
300	314	0.61	atgaaag	gtatacta
319	333	0.90	atatcag	gtaaaatc
483	497	0.97	tgtaaag	gtcagtc
572	586	0.52	caaacag	gtggcagg
686	700	0.79	tccatag	gtgagatc
739	753	0.51	ctggcat	gtaaagaga
773	787	0.82	aggccat	gttagtaa
1018	1032	0.99	tcagtgg	gttaagtga
1031	1045	0.92	gattaga	gttaagcgg
1288	1302	0.99	tgataag	gttaattag

No hay cambios entre las predicciones para la secuencia *wild type* y la mutada, por lo que no tendrá efecto en el *splicing*.

Acceptor site predictions for 80.102.134.120.15118.0 :

Start	End	Score	Intron	Exon
112	152	0.66	tgttttgtgatttttttaa	agaaagtaatatgatcagtgaa
490	530	0.96	gtcagtcctttttatttctc	agatacttcacattatttatga
672	712	0.95	gtggctctcatgcactccat	aggtgagatcaaatgaaagttt
792	832	0.90	gcatctgtttgtccacatt	aggcttaggttaccacaaggat
1001	1041	0.84	aatgtggttccttgttctc	agtggttaagtattagagtaa
1153	1193	0.76	taggtgatttttcagctgt	agggaagtgggtggcaccacta

Acceptor site predictions for 80.102.134.120.15129.0 :

Start	End	Score	Intron	Exon
112	152	0.66	tgttttgtgatttttttaa	agaaagtaatatgatcagtgaa
490	530	0.96	gtcagtcctttttatttctc	agatacttcacattatttatga
672	712	0.95	gtggctctcatgcactccat	aggtgagatcaaatgaaagttt
792	832	0.90	gcatctgtttgtccacatt	aggcttaggttaccacaaggat
1001	1041	0.84	aatgtggttccttgttctc	agtggttaagtattagagtaa
1153	1193	0.76	taggtgatttttcagctgt	agggaagtgggtggcaccacta

GENSCAN → no da resultados para este cambio

Predicted genes/exons:

Gn.Ex Type S .Begin ...End .Len Fr Ph I/Ac Do/T CodRg P.... Tscr..

NO EXONS/GENES PREDICTED IN SEQUENCE

Predicted genes/exons:

Gn.Ex Type S .Begin ...End .Len Fr Ph I/Ac Do/T CodRg P.... Tscr..

NO EXONS/GENES PREDICTED IN SEQUENCE

MaxEntScan

MAXENT: -42.21 MDD: -27.71 MM: -28.63 WMM: -22.26 MAXENT: -7.42 MM: -7.61 WMM: -8.09

En los resultados tanto para 5'SS (izquierda) como 3'SS (derecha), las puntuaciones son muuy bajas y negativas, por lo que no debe estar afectando al *splicing*.

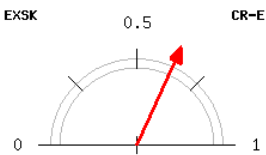
Spliceman

Point mutation	Wildtype (wt)	Mutation (mt)	L1 distance	Ranking (L1)
agt tg (a/g)agatg	tgaaga	tggaga	25976	49%

En el análisis de la región adyacente al cambio, se obtiene una puntuación no muy elevada (49%) para el cambio A>G, por lo que puede estar afectando al *splicing*.

CRYP-SKIP

Exon length (bp)	182
PESS (<=-2.62) density	1.65
NN 5'ss score density	0.34
SF2/ASF score density	12.85
FAS-ESS (hex2) density	1.65
EIE score density	316.80
Probability of cryptic splice site activation (P_{CR-E})	0.64



Parece que hay varios sitios críticos de *splicing* dentro del propio exón, pero el cambio de interés no lo toma en consideración, por lo que no debe considerar que tenga algún efecto en el *splicing*.



Human Splicing Finder

Type	↑↓	Interpretation	↑↓
	New Donor splice site	Activation of a cryptic Donor site. Potential alteration of splicing	
Algorithm/Matix	position	sequences	variation
HSF Donor site (matrix GT)	chr17:31232740	- REF : GAAGTTGAA - ALT : GAAGTTGGA	63.18 > 72.74 => 15.13%

SVM-BPfinder

seq_id	agez	ss_dist	bp_seq	bp_scr	y_cont	ppt_off	ppt_len	ppt_scr	svm_scr
wt	28	489	atatcaggt	-3.76483546755	0.471074380165	111	7	16	-7.79725
wt	28	484	aggtaaaat	-1.00779112132	0.473903966597	106	7	16	-6.4003314
wt	28	479	aaatcatgt	-1.30108950588	0.474683544304	101	7	16	-6.1984282
wt	28	458	acttcataa	-2.57975429871	0.470198675497	80	7	16	-5.3712697
wt	28	455	tcataataa	-1.19180287359	0.471111111111	77	7	16	-4.6376314
wt	28	452	taataagcc	-0.174289982488	0.472035794183	74	7	16	-4.0490299
wt	28	438	ggctgatta	0.572428480237	0.468822170901	60	7	16	-2.8715193
wt	28	435	tgattatcg	-1.76949310508	0.467441860465	57	7	16	-3.5990431
wt	28	410	cagttaacc	-2.07426918077	0.481481481481	32	7	16	-2.1313849
wt	28	409	agtttaacc	1.74887646245	0.482673267327	31	7	16	-0.57075946
wt	28	395	cattcacac	1.03288935766	0.479487179487	17	7	16	0.034045243
wt	28	379	atatgattg	-1.23149393381	0.478609625668	1	7	16	0.15992187
wt	28	358	tggttagct	-2.14376425571	0.473087818697	2	10	18	-0.24372509
wt	28	345	agttgatac	-0.0248268931793	0.467647058824	23	18	35	-0.58671356
wt	28	334	ctttcacta	-0.131686086113	0.462006079027	12	18	35	0.065905686
wt	28	326	atgtaaagg	-1.1562561675	0.461059190031	4	18	35	0.17081881
wt	28	320	aggtcagtc	-1.80826386605	0.463492063492	2	14	34	0.033593527
wt	28	311	tttttattt	-4.34020649867	0.454248366013	19	8	14	-2.2231555
wt	28	304	ttctcagat	-0.318828248584	0.444816053512	12	8	14	-0.20855393
wt	28	295	acttcacat	-1.16577152797	0.441379310345	3	8	14	0.028402687
wt	28	290	acattattt	-3.83760197771	0.438596491228	266	19	27	-17.544996
wt	28	286	tatttatga	-2.93857085709	0.434163701068	262	19	27	-16.941222
wt	28	283	ttatgaacc	-0.714942389566	0.435251798561	259	19	27	-15.88032
wt	28	274	ttttgaatg	-0.846179518138	0.42750929368	250	19	27	-15.364521
wt	28	270	gaatgactg	1.54243150168	0.430188679245	246	19	27	-14.175208
wt	28	261	cagtgaagt	-0.45226479169	0.4296875	237	19	27	-14.386703
wt	28	255	agttgaaga	-1.86208982377	0.432	231	19	27	-14.558179
wt	28	249	agatgaaga	-2.12587065779	0.438524590164	225	19	27	-14.279565
wt	28	197	gcatacactg	-0.813053919666	0.458333333333	173	19	27	-10.467625
wt	28	193	cactgaaggc	0.860058583981	0.457446808511	169	19	27	-9.5596151
wt	28	167	atgtcaaac	-2.18114612138	0.444444444444	143	19	27	-9.1088335
wt	28	161	aacttacttc	0.294735630281	0.442307692308	137	19	27	-7.760309
wt	28	157	tactcaatg	0.348549399332	0.434210526316	133	19	27	-7.4886602
wt	28	133	gtctcatgc	1.69622963776	0.4296875	109	19	27	-5.4432808
wt	28	117	aggtgagat	-1.71186269188	0.419642857143	93	19	27	-5.768181
wt	28	112	agatcaaat	-3.65894545244	0.420560747664	88	19	27	-6.2137679
wt	28	107	aaatgaaga	-1.35512054508	0.43137254902	83	19	27	-4.991728
wt	28	99	gtttcatat	-1.52523129633	0.425531914894	75	19	27	-4.5538342
wt	28	64	atgtgaaga	-1.47035922721	0.474576271186	40	19	27	-2.3010681
wt	28	49	aaattactt	-1.11026062717	0.568181818182	25	19	27	-1.1803658
wt	28	44	acttcagca	-2.03765209265	0.538461538462	20	19	27	-1.2365905
wt	28	30	atgttagta	-4.16638534879	0.6	6	19	27	-1.1640385
wt	28	26	tagtaaaat	-0.668958690687	0.666666666667	2	19	27	0.4800939

seq_id	agez	ss_dist	bp_seq	bp_scr	y_cont	ppt_off	ppt_len	ppt_scr	svm_scr
wt	28	489	atatcaggt	-3.76483546755	0.471074380165	111	7	16	-7.79725
wt	28	484	aggtaaaat	-1.00779112132	0.473903966597	106	7	16	-6.4003314
wt	28	479	aaatcatgt	-1.30108950588	0.474683544304	101	7	16	-6.1984282
wt	28	458	acttcataa	-2.57975429871	0.470198675497	80	7	16	-5.3712697
wt	28	455	tcataataa	-1.19180287359	0.471111111111	77	7	16	-4.6376314
wt	28	452	taataagcc	-0.174289982488	0.472035794183	74	7	16	-4.0490299
wt	28	438	ggctgatta	0.572428480237	0.468822170901	60	7	16	-2.8715193
wt	28	435	tgattatcg	-1.76949310508	0.467441860465	57	7	16	-3.5990431
wt	28	410	cagttaacc	-2.07426918077	0.481481481481	32	7	16	-2.1313849
wt	28	409	agtttaacc	1.74887646245	0.482673267327	31	7	16	-0.57075946
wt	28	395	cattcacac	1.03288935766	0.479487179487	17	7	16	0.034045243
wt	28	379	atatgattg	-1.23149393381	0.478609625668	1	7	16	0.15992187
wt	28	358	tggttagct	-2.14376425571	0.473087818697	2	10	18	-0.24372509
wt	28	345	agttgatac	-0.0248268931793	0.467647058824	23	18	35	-0.58671356
wt	28	334	ctttcacta	-0.131686086113	0.462006079027	12	18	35	0.065905686
wt	28	326	atgtaaagg	-1.1562561675	0.461059190031	4	18	35	0.17081881
wt	28	320	aggtcagtc	-1.80826386605	0.463492063492	2	14	34	0.033593527
wt	28	311	tttttattt	-4.34020649867	0.454248366013	19	8	14	-2.2231555
wt	28	304	ttctcagat	-0.318828248584	0.444816053512	12	8	14	-0.20855393
wt	28	295	acttcacat	-1.16577152797	0.441379310345	3	8	14	0.028402687
wt	28	290	acattattt	-3.83760197771	0.438596491228	266	19	27	-17.544996
wt	28	286	tatttatga	-2.93857085709	0.434163701068	262	19	27	-16.941222
wt	28	283	ttatgaacc	-0.714942389566	0.435251798561	259	19	27	-15.88032
wt	28	274	ttttgaatg	-0.846179518138	0.42750929368	250	19	27	-15.364521
wt	28	270	gaatgactg	1.54243150168	0.430188679245	246	19	27	-14.175208
wt	28	261	cagtgaagt	-0.45226479169	0.4296875	237	19	27	-14.386703
wt	28	249	agatgaaga	-2.12587065779	0.438524590164	225	19	27	-14.279565
wt	28	197	gcatacactg	-0.813053919666	0.458333333333	173	19	27	-10.467625
wt	28	193	cactgaaggc	0.860058583981	0.457446808511	169	19	27	-9.5596151
wt	28	167	atgtcaaac	-2.18114612138	0.444444444444	143	19	27	-9.1088335
wt	28	161	aacttacttc	0.294735630281	0.442307692308	137	19	27	-7.760309
wt	28	157	tactcaatg	0.348549399332	0.434210526316	133	19	27	-7.4886602
wt	28	133	gtctcatgc	1.69622963776	0.4296875	109	19	27	-5.4432808
wt	28	117	aggtgagat	-1.71186269188	0.419642857143	93	19	27	-5.768181
wt	28	112	agatcaaat	-3.65894545244	0.420560747664	88	19	27	-6.2137679
wt	28	107	aaatgaaga	-1.35512054508	0.43137254902	83	19	27	-4.991728
wt	28	99	gtttcatat	-1.52523129633	0.425531914894	75	19	27	-4.5538342
wt	28	64	atgtgaaga	-1.47035922721	0.474576271186	40	19	27	-2.3010681
wt	28	49	aaattactt	-1.11026062717	0.568181818182	25	19	27	-1.1803658
wt	28	44	acttcagca	-2.03765209265	0.538461538462	20	19	27	-1.2365905
wt	28	30	atgttagta	-4.16638534879	0.6	6	19	27	-1.1640385
wt	28	26	tagtaaaat	-0.668958690687	0.666666666667	2	19	27	0.4800939

Desaparece un BP en la secuencia mutada, justo el que incluye la posición de interés, por lo que no es probable que haya una alteración del *splicing* porque está dentro del exón y tiene puntuación negativa.

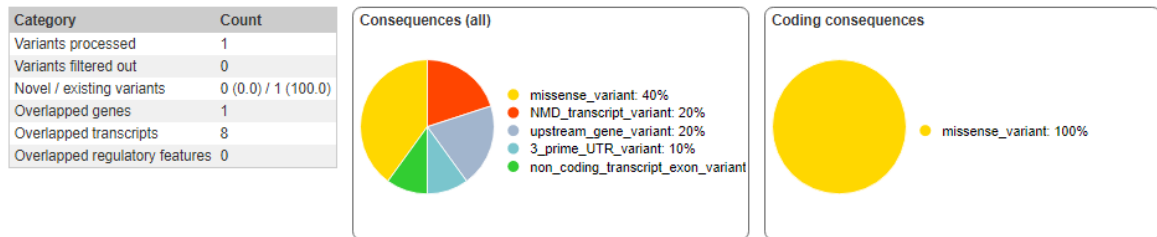
IntSplice

SNV at chr17:3123274 can't be predicted by IntSplice.

Prediction shows either Abnormal or Normal.

Prediction	Genomic Mutation	Ensembl 64 Transcript ID and Exon No.
Input queries: hg19, chr17, 3123274		

Variant Effect Predictor tool



Se trata de una variante que está afectando al sitio de *splicing*, por lo que va a provocar que se altere el *splicing* normal. Esto se observa porque el resultado dice que es una variante NMD, lo que quiere decir que está activando un proceso que solo se da para degrada mRNAs mal generado. Además, dice que es una variante *missense*, lo que generará un cambio en la proteína.

Uploaded variant	Location	Allele	Consequence	Symbol	Gene	Feature type	Feature	Biotype
ENST00000358273.4:c.3362A>G	17:31232747-31232747	G	missense_variant	NF1	ENSG00000196712	Transcript	ENST00000356175.7	protein_coding
ENST00000358273.4:c.3362A>G	17:31232747-31232747	G	missense_variant	NF1	ENSG00000196712	Transcript	ENST00000358273.9	protein_coding
ENST00000358273.4:c.3362A>G	17:31232747-31232747	G	missense_variant	NF1	ENSG00000196712	Transcript	ENST00000456735.6	protein_coding
ENST00000358273.4:c.3362A>G	17:31232747-31232747	G	upstream_gene_variant	NF1	ENSG00000196712	Transcript	ENST00000466819.5	nonsense_mediated_decay
ENST00000358273.4:c.3362A>G	17:31232747-31232747	G	upstream_gene_variant	NF1	ENSG00000196712	Transcript	ENST00000479614.1	nonsense_mediated_decay
ENST00000358273.4:c.3362A>G	17:31232747-31232747	G	non_coding_transcript_exon_variant	NF1	ENSG00000196712	Transcript	ENST00000493220.5	retained_intron
ENST00000358273.4:c.3362A>G	17:31232747-31232747	G	3_prime_UTR_variant, NMD_transcript_variant	NF1	ENSG00000196712	Transcript	ENST00000495910.6	nonsense_mediated_decay
ENST00000358273.4:c.3362A>G	17:31232747-31232747	G	missense_variant, NMD_transcript_variant	NF1	ENSG00000196712	Transcript	ENST00000579081.5	nonsense_mediated_decay

ESEfinder

De los resultados donde se encuentra la posición de interés, en cuanto a los sitios de *splicing*, tiene puntuación positiva en las matrices de 5'SS en un único resultado (AAGTTGAAGATGAAAGTGC GCAAACAGGTG) con puntuaciones 4.26180 y 4.56120, pero también da una puntuación positiva en un único resultado (TTGAATGACTGCAGTGAAGTTGAAGATGA) en las matrices de 3'SS (0.44860 y 0.18690). Si vamos a los resultados equivalentes en la secuencia mutada, para la primera, los valores casi no se han visto alterados (4.41830 y 4.72050), igual que en la segunda, aunque haya aumentado un poco más (0.83560 y 0.52410). Por lo tanto, no se pueden sacar conclusiones para ninguno.

Si buscamos los ESE de la secuencia, para la puntuación de interés, solo hay un fragmento con esta que tiene puntuación positiva en más de una matriz: AAGATGA (1.31395 y 0.07210). El equivalente en la secuencia mutada tiene puntuaciones más altas en esas mismas matrices (2.24182 y 0.30965) por lo que el cambio puede tener un efecto de alteración de este sitio en el *splicing*.

EX-SKIP

Seq	PESS (count)	FAS-ESS hex2 (count)	FAS-ESS hex3 (count)	IIE (count)	IIE (sum)	NI-ESS trusted (count)	NI-ESS all (sum)	PESE (count)	RESCUE -ESE (count)	EIE (count)	EIE (sum)	NI-ESE trusted (count)	NI-ESE all (sum)	ESS (total)	ESE (total)	ESS/ESE (ratio)
wt	3	3	0	32	440.0425	16	-25.6582	11	23	52	569.6720	52	79.9040	54	138	0.39
mut	3	3	0	32	448.1299	16	-26.3825	8	22	53	560.6457	52	79.5217	54	135	0.40

Allele mut has a higher chance of exon skipping than allele wt.

HOT-SKIP

>wt
gtaaatcttcagtcaccaaaaaacataaagcaaaaaagcgaataaaagccccccacacacaaaaaaagcaagaataataac
ccatgacaggacaggataggaaaaataactgtgttttgatttttttaagaagaataatgatcagtgaaattttgtc
tataataaaaccagattgcttcattaagtcatttcaaaaagtgacattgtctaaagctgtttggaccactaattttat
atacgaatataaagtgacacattacaggtaaatgcatctattttagtctaagttatgataaaggtatactaggtat
ctcagtgaaaaatctgtccaacatgacacttataataagccacctggctgattatcgcagagagagagagaacag
ttaaccaggggccattcacacatgacatatgattgttttggaaatgctcggttagctttctagtgtatcggccttcac
tataaaggctcagctctttttatttcacgATACTTCACATTATTATGAACCTTTTGAATGACGACAGTGAAGTTGAAG
ATGAAGTGCAGAAAGCGTTGGCAGAAACCTGGCATCTGCGAGGGTGGCATCTACTGAGCATCTGACCGTCTTCGA
ATGTCAAACCTTACTCAATGCCAACGTAGACAGTGGTCTCATGCACTCCAATAGgtgagatcaaatgaaagtctcataga
aatacaaaaacttgagaactcagctgtaagagaagaaaaaattacttcagaaagccctgttatgtaattttgcattgt
ttgccactatagGCTATGGTTACCCAAGAAGTCTCAGACAAGAGCATATTTTATGAAGATTCTGACAAAAATCTCTCAA
CAAGGCACAGAATTTGACACAGTTCGACGAACAGATTGGCTGATCGTGTGAGAGATTGGTGAACCTGGTCACAATGAT
GGGTGATCAAGGAGAACCTCCCTATAGCGATGGCTCGGCCAATGTGGTTCCTTGTTCTCAAGTGGtgtaagtgttagta
agcgggggaagaaaaagtcctgcacatagcaaatccttcagaatatatttcataaagtgtttttgaatgaattgat
aaaatttcagagccagaagaagaatgttttagttaggtgatttttcagctgttaggaagtggttggcaccactagacctga
ctagtgttcgtatctattctctcttaaaaaattccattaaacgattaaaaactcagtgatcactctgggtgtcttc
atatatttgataaggtataaggtttaaacctaattttagtagt

La posición de estudio está marcada en rosa fuerte, por lo que puede estar implicada en el *splicing* (0.25).

Mutation(s) E+42A>T, E+98C>G and E+13A>T have the highest probability of exon skipping.